

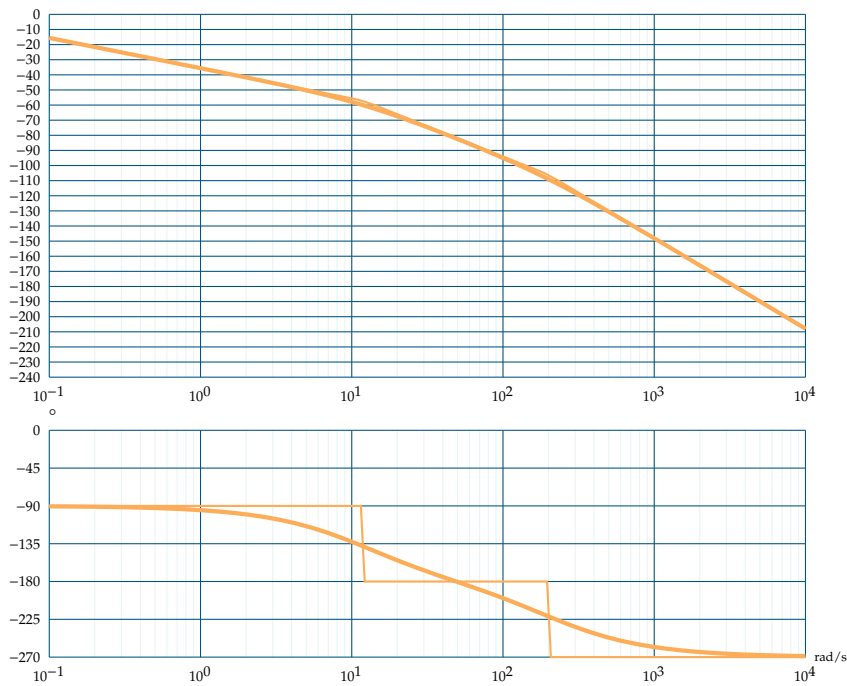
## Diagramme de Bode ★★

11 SLCI

**Question 1** Tracer le diagramme de Bode de la fonction de transfert suivante :

$$F(p) = \frac{2}{0,05p^3 + 10,6p^2 + 120p}.$$

En factorisant, on obtient  $F(p) = \frac{40}{p(p+12)(p+200)} = \frac{40}{2400p\left(\frac{p}{12} + 1\right)\left(\frac{p}{200} + 1\right)}.$





# TD 0

## Fauteuil dynamique de cinéma – Corrigé

Concours Centrale-Supélec TSI 2015

C1-01

C2-03

### Présentation du système

#### Mise en situation

Exigence fonctionnelle « amplifier la sensation d'accélération »

Comportement de l'ensemble variateur et moteur du dossier



#### Objectif

- ▶ Établir un modèle simplifié de l'asservissement de courant.
- ▶ Établir un modèle simplifié de l'asservissement de vitesse.
- ▶ Analyser la précision de l'asservissement de position.

#### Modélisation de l'asservissement de vitesse

NE PAS TRAITER LES QUESTIONS 1 à 3.

**Question 1** Exprimer la fonction de transfert de la boucle de vitesse  $H_{\Omega}(p) = \Omega(p)/U_{C\Omega}(p)$ , lorsque  $C_R(p) = 0$ . Le résultat sera mis sous une forme canonique.

#### Correction

$$H_{\Omega}(p) = \frac{k_1 \left(1 + \frac{1}{T_1 p}\right) \frac{K}{K_{rI}} \frac{1}{Jp + f}}{1 + K_{\Omega} k_1 \left(1 + \frac{1}{T_1 p}\right) \frac{K}{K_{rI}} \frac{1}{Jp + f}} = \frac{k_1 (1 + T_1 p) K}{T_1 p K_{rI} (Jp + f) + K_{\Omega} k_1 (1 + T_1 p) K}$$

$$= \frac{\frac{K k_1}{K_{\Omega} k_1 K} (1 + T_1 p)}{\frac{T_1 K_{rI} J}{K_{\Omega} k_1 K} p^2 + \left(\frac{f T_1 K_{rI}}{K_{\Omega} k_1 K} + \frac{K_{\Omega} k_1 T_1 K}{K_{\Omega} k_1 K}\right) p + 1} \quad H_{\Omega}(p) = \frac{\frac{1}{K_{\Omega}} (1 + T_1 p)}{\frac{T_1 K_{rI} J}{K_{\Omega} k_1 K} p^2 + \left(\frac{f K_{rI}}{K_{\Omega} k_1 K} + 1\right) T_1 p + 1}$$

**Question 2**  $T_1$  étant égal à  $J/f$ , montrer alors que la fonction de transfert en boucle fermée peut se mettre sous la forme  $\frac{b}{\tau p + 1}$ . Calculer les valeurs numériques des termes  $b$  et  $\tau$ .

#### Correction

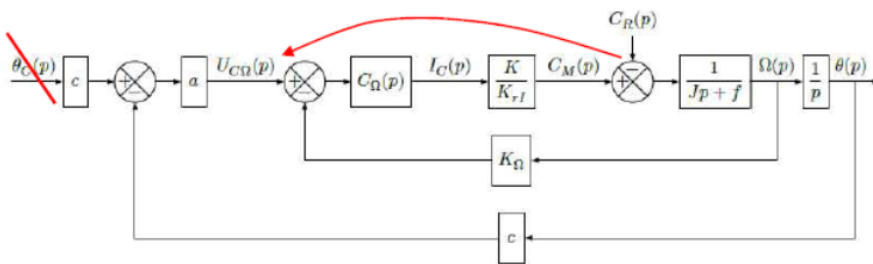
$$\text{On a } H_{\Omega}(p) = \frac{\frac{1}{K_{\Omega}} \left(1 + \frac{J}{f} p\right)}{\frac{J}{f} \frac{K_{rI} J}{K_{\Omega} k_1 K} p^2 + \left(\frac{f K_{rI}}{K_{\Omega} k_1 K} + 1\right) \frac{J}{f} p + 1} = \frac{(f + Jp)}{\frac{K_{rI} J^2}{k_1 K} p^2 + \left(\frac{f K_{rI}}{k_1 K} + K_{\Omega}\right) Jp + f K_{\Omega}}$$

$$\begin{aligned}
&= \frac{(f + Jp) k_1 K}{K_{rI} J^2 p^2 + (f K_{rI} + K_{\Omega} k_1 K) J p + f K_{\Omega} k_1 K} \\
\text{On a : } \Delta &= (f K_{rI} + K_{\Omega} k_1 K)^2 J^2 - 4 f K_{\Omega} k_1 K K_{rI} J^2 = (f^2 K_{rI}^2 + K_{\Omega}^2 k_1^2 K^2 + 2 f K_{rI} K_{\Omega} k_1 K) J^2 - 4 f K_{\Omega} k_1 K K_{rI} J^2 \\
&= (f^2 K_{rI}^2 + K_{\Omega}^2 k_1^2 K^2 - 2 f K_{rI} K_{\Omega} k_1 K) J^2 = (f K_{rI} - K_{\Omega} k_1 K)^2 J^2 \\
\text{On a donc} \\
p_{12} &= \frac{-(f K_{rI} + K_{\Omega} k_1 K) J \pm (f K_{rI} - K_{\Omega} k_1 K) J}{2 K_{rI} J^2}, \\
p_1 &= \frac{-f J K_{rI} - K_{\Omega} k_1 K J + f J K_{rI} - K_{\Omega} k_1 K J}{2 K_{rI} J^2} = -\frac{K_{\Omega} k_1 K}{K_{rI} J}, \quad p_2 = \frac{-f J K_{rI} - K_{\Omega} k_1 K J - f J K_{rI} + K_{\Omega} k_1 K J}{2 K_{rI} J^2} = -\frac{f}{J}. \\
\text{On a donc} \\
H_{\Omega}(p) &= \frac{J \left( \frac{f}{J} + p \right) k_1 K}{\left( p + \frac{f}{J} \right) \left( p + \frac{K_{\Omega} k_1 K}{K_{rI} J} \right)} = \frac{J k_1 K}{p + \frac{K_{\Omega} k_1 K}{K_{rI} J}} = \frac{\frac{K_{rI} J^2}{K_{\Omega}}}{\frac{K_{rI} J}{K_{\Omega} k_1 K} p + 1} \\
\text{On a donc } b &= \frac{K_{rI} J^2}{K_{\Omega}} \text{ et } \tau = \frac{K_{rI} J}{K_{\Omega} k_1 K}. \\
\text{Autre solution : } b &= \frac{1}{K_{\Omega}} = 20\pi = 62,8 \text{ rad s}^{-1} \text{V}^{-1} \text{ et } \tau = \frac{K_{rI} J}{k_1 K K_{\Omega}} = 2,17 \times 10^{-3} \text{ s}.
\end{aligned}$$

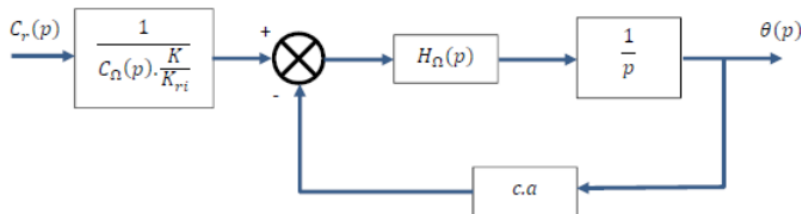
**Question 3** En déduire, à l'aide de la figure précédente,  $\theta(p)/C_R(p)$  lorsque  $\theta_C(p) = 0$ . Calculer ensuite la valeur finale de  $\theta(t)$  lorsque  $c_R(t)$  est un échelon unitaire. Conclure quant à l'action, en régime permanent, du correcteur proportionnel et intégral sur les effets d'une perturbation  $c_R(t)$  de type échelon.

#### Correction

On effectue une transformation de schéma en déplaçant le comparateur de  $C_r(p)$



D'où la nouvelle structure de schéma bloc :



$$\frac{\theta(p)}{C_r(p)} = \frac{1}{C_\Omega(p) \cdot \frac{K}{K_{ri}}} \cdot \frac{H_\Omega(p) \cdot \frac{1}{p}}{1 + c \cdot a \cdot H_\Omega(p) \cdot \frac{1}{p}} = \frac{K_{ri} \cdot T_1 \cdot p}{K \cdot k_1 \cdot (1 + T_1 \cdot p)} \cdot \frac{\frac{b}{1 + \tau p} \cdot \frac{1}{p}}{1 + \frac{b}{1 + \tau p} \cdot \frac{1}{p}}$$

L'application du théorème de la valeur finale pour une entrée de type échelon donne :

$$\theta(\infty) = \lim_{p \rightarrow 0} p \cdot \theta(p) = 0$$

Ce résultat était prévisible car le correcteur PI est placé avant la perturbation.

$$\begin{aligned} \frac{\theta(p)}{C_r(p)} &= \frac{1}{C_\Omega(p) \frac{K}{K_{ri}}} \cdot \frac{\frac{b}{1 + \tau p} \frac{1}{p}}{1 + \frac{abc}{1 + \tau p} \frac{1}{p}} = \frac{1}{k_1 \left(1 + \frac{1}{T_1 p}\right) \frac{K}{K_{ri}}} \cdot \frac{\frac{b}{1 + \tau p} \frac{1}{p}}{1 + \frac{abc}{1 + \tau p} \frac{1}{p}} \\ &= \frac{T_1 K_{ri} p}{k_1 (T_1 p + 1) K} \cdot \frac{b}{p(1 + \tau p) + abc} \\ \text{et } \lim_{t \rightarrow \infty} \theta(t) &= 1. \end{aligned}$$

## Modélisation de la boucle d'asservissement de position

**Question 4** Exprimer la fonction de transfert  $\theta(p)/\theta_C(p)$ . Déterminer ensuite la valeur numérique de  $a$  pour avoir un facteur d'amortissement égal à 0,7. Justifier le choix de ce facteur d'amortissement. (Pour ce calcul et les calculs suivants prendre  $b = 63 \text{ rad} \cdot \text{s}^{-1} \cdot \text{V}^{-1}$ ,  $\tau = 2,2 \text{ ms}$ ,  $c = 40 \text{ rad}^{-1}$ .)

### Correction

$$\text{On a } \frac{\theta(p)}{\theta_C(p)} = c \frac{\frac{ab}{p(\tau p + 1)}}{1 + \frac{abc}{p(\tau p + 1)}} = \frac{abc}{p(\tau p + 1) + abc} = \frac{1}{\frac{\tau}{abc} p^2 + \frac{p}{abc} + 1}.$$

$$\text{On a } \omega_0 = \sqrt{abc/\tau} \text{ et } \frac{2\xi}{\omega_0} = \frac{1}{abc} \text{ et } \xi = \frac{1}{2\sqrt{abc\tau}}. \text{ En conséquence, } a = \frac{1}{4bc\tau\xi^2} = 0,092.$$

(On prend  $\xi = 0,7$  car cela correspond au temps de réponse le plus rapide pour un second ordre.)

## Analyse de la précision du système

**Question 5** Exprimer dans un premier temps  $\mu(p)$  en fonction de  $\theta_C(p)$ , puis déterminer de façon littérale et numérique l'erreur de position  $\mu_p$ , l'erreur de traînage  $\mu_v$  et l'erreur en accélération  $\mu_a$ . Conclure quant à la précision statique du système suite aux différentes consignes  $\theta_C(p)$  de type échelon, rampe et accélération.

### Correction

$$\text{On a } \mu(p) = \frac{\theta_c(p)}{1 + \frac{abc}{p(1+\tau p)}} = \frac{p(1+\tau p)}{p(1+\tau p) + abc} \theta_c(p) = \frac{p(1+\tau p)}{p(1+\tau p) + abc} \theta_c(p).$$

La FTBO est de classe 1 et de gain  $K_{BO} = abc$  on a donc :

- pour une entrée échelon,  $\mu_p = 0$ ;
- pour une entrée rampe,  $\mu_v = \frac{1}{abc}$ ;
- pour une entrée accélération,  $\mu_a = \infty$ .

## Validation et optimisation de la performance simulée en accélération du dossieret

### Objectif

Valider la performance simulée en accélération au regard du cahier des charges fonctionnel.

**Question 6** Déterminer l'erreur de position  $\mu_p$  puis l'erreur de traînage  $\mu_v$ . Conclure sur l'erreur de position au regard du cahier des charges.

### Correction

$$\begin{aligned} \text{On a } \varepsilon_{\text{codeur}}(p) &= c\theta_c(p) - c\theta(p) \\ &= c\theta_c(p) - \frac{bc}{p(\tau p + 1)} U_{C\Omega}(p) = c\theta_c(p) - \frac{bc}{p(\tau p + 1)} (\theta_C(p)dp + a\varepsilon_{\text{codeur}}(p)) \\ \Leftrightarrow \varepsilon_{\text{codeur}}(p) \left( 1 + \frac{abc}{p(\tau p + 1)} \right) &= \theta_C(p) \left( c - \frac{bcd}{\tau p + 1} \right) \\ \Leftrightarrow \varepsilon_{\text{codeur}}(p) \left( 1 + \frac{abc}{p(\tau p + 1)} \right) &= \theta_C(p) c \frac{\tau p + 1 - bd}{\tau p + 1} \\ \Leftrightarrow \varepsilon_{\text{codeur}}(p) &= \theta_C(p) cp \frac{\tau p + 1 - bd}{p(\tau p + 1) + abc} \end{aligned}$$

On a alors :

- $\mu_p = \lim_{p \rightarrow 0} p \frac{1}{p} cp \frac{\tau p + 1 - bd}{p(\tau p + 1) + abc} = \lim_{p \rightarrow 0} cp \frac{\tau p + 1 - bd}{p(\tau p + 1) + abc} = 0$ ;
- $\mu_v = \lim_{p \rightarrow 0} p \frac{1}{p^2} cp \frac{\tau p + 1 - bd}{p(\tau p + 1) + abc} = \frac{1 - bd}{ab}$ .

**Question 7** D'après l'erreur de traînage  $\mu_v$  déterminée à la question précédente, calculer la valeur numérique de  $d$  qui permet d'annuler cette erreur de traînage. En prenant en compte la valeur numérique de  $d$  et de  $b$ , déterminer l'expression de l'erreur en accélération  $\mu_a$ . Calculer ensuite sa valeur numérique et conclure au regard du cahier des charges.

**Correction**

On a  $\mu_v = \frac{1-bd}{abc}$ . En conséquences,  $\mu_v = 0 \Leftrightarrow 0 = \frac{1-bd}{ab} \Leftrightarrow d = \frac{1}{b}$ .

$$\mu_a = \lim_{p \rightarrow 0} p \frac{1}{p^3} c p \frac{\tau p + 1 - bd}{p(\tau p + 1) + abc} = \frac{\tau}{ab}.$$

**Question 8** Conclure quant au respect du cahier des charges vis-à-vis des accélérations produites par le dossieret du siège dynamique de cinéma.

**Correction**

### Exigence fonctionnelle « incliner le spectateur suivant l'axe de tangage et de roulis »

**Objectif**

Valider le choix de conception pour la réalisation de la commande simultanée des deux moteurs de l'assise du siège.

**Question 9** En réutilisant éventuellement les calculs effectués aux questions 6 et 7 et en tenant compte des différences de réglage de retour vitesse et des différences d'inertie entre les deux motorisations, exprimer la valeur finale de  $\theta_1(t) - \theta_2(t)$  lorsque la consigne  $\theta_C(t)$  est respectivement égale à  $u(t)$ ,  $t \cdot u(t)$  puis  $\frac{t^2}{2}u(t)$ ,  $u(t)$  étant la fonction échelon unité.

**Correction**

En raisonnant graphiquement, on a  $\theta_1(p) - \theta_2(p) = \varepsilon_{\text{codeur 1}}(p) - \varepsilon_{\text{codeur 2}}(p)$ ; donc :

- $\mu_p = \mu_{p1} - \mu_{p2} = 0$ ;
- $\mu_v = \mu_{v1} - \mu_{v2} = \frac{1-b_1d}{ab_1} - \frac{1-b_2d}{ab_2}$ ;
- $\mu_a = \mu_{a1} - \mu_{a2} = \infty$ .

La figure 10 représente le résultat d'une simulation de  $\theta_1(t) - \theta_2(t)$  pour une consigne  $\theta_C(t) = \frac{t^2}{2}U(t)$

**Question 10** Conclure quant à l'erreur en accélération lors de la commande simultanée.

**Correction**

